



HAL
open science

Premiers résultats d'un programme de prospections céramologiques dans la zone centrale du tell de Tanis : campagne 2014 (Mission française des fouilles de Tanis)

Catherine Defernez

► To cite this version:

Catherine Defernez. Premiers résultats d'un programme de prospections céramologiques dans la zone centrale du tell de Tanis : campagne 2014 (Mission française des fouilles de Tanis). Bulletin de liaison du Groupe international d'étude de la céramique égyptienne, 2015, 25, pp.77-100. hal-03748672

HAL Id: hal-03748672

<https://hal.science/hal-03748672v1>

Submitted on 9 Aug 2022

HAL is a multi-disciplinary open access archive for the deposit and dissemination of scientific research documents, whether they are published or not. The documents may come from teaching and research institutions in France or abroad, or from public or private research centers.

L'archive ouverte pluridisciplinaire **HAL**, est destinée au dépôt et à la diffusion de documents scientifiques de niveau recherche, publiés ou non, émanant des établissements d'enseignement et de recherche français ou étrangers, des laboratoires publics ou privés.

BULLETIN
DE LIAISON DE LA
CÉRAMIQUE
ÉGYPTIENNE
25



INSTITUT FRANÇAIS D'ARCHÉOLOGIE ORIENTALE

BCE 25 – 2015



Sommaire

Sylvie MARCHAND	Avant-propos	IX
	Carte	X
	Repères chronologiques	XI
	1. PARCOURS RÉGIONAL	I
	DELTA	3
Frédéric GUYOT	The Predynastic Pottery from Tell el-Iswid (Nile Delta). Preliminary Report on the Lower Egyptian Culture Assemblage	5
Gaëlle BRÉAND	The Protodynastic Pottery from Tell el-Iswid South (Nile Delta). Preliminary Report on the Naqada III Assemblage	37
Catherine DEFERNEZ	Premiers résultats d'un programme de prospections céramologiques dans la zone centrale du tell de Tanis : campagne 2014 (Mission française des fouilles de Tanis)	77

	RÉGION MEMPHITE, LE CAIRE.....	101
Julie MONCHAMP	Céramiques ayyoubides de Bâb al-Naşr, murailles du Caire (fin XII ^e – I ^{re} moitié XIII ^e s.).....	103
Svetlana MALYKH	Unusual Ceramic Complex in the Eastern Giza. Problems of Dating and Interpretation.....	113
Guy LECUYOT	Matériel de cuisine « copte » provenant de Saqqara.....	127
	SUD DE LA HAUTE-ÉGYPTE.....	149
Dietrich RAUE	Tempelinventar und Weihgaben unter den Keramikfunden im Tempel der Satet.....	151
	SINAÏ ET NORD-SINAÏ.....	197
Silvia LUPO Claudia KOHEN	Early Occupations of Area I at Tell el-Ghaba, North-Sinai.....	199
François PARIS Sylvie MARCHAND Damien LAISNEY	Ayn Fogeïya	237
	2. ÉTUDES : ATELIERS ET PRODUCTIONS CÉRAMIQUES D'ÉGYPTE, DE NUBIE ET DU SOUDAN	257
Valérie PICHOT Clément FLAUX	Les fours à amphores du Haut-Empire du site d'Akademia (Maréotide) : campagne de fouille et carottages 2014.....	259
Valérie PICHOT Kaan ŞENOL	Amphores de Gaza et résine sur le site de production d'amphores du Haut-Empire d'Akademia (Maréotide).....	277
Rexine HUMMEL Pearce Paul CREASMAN	A Curious Assemblage of Mud Vessels.....	291

SOMMAIRE

Valérie LE PROVOST	Les dernières coupes de type <i>Maidum-bowl</i> dans l'habitat de Tell Edfou (fin VI ^e dynastie – début Première Période intermédiaire).....	305
Karin KOPETZKY	Imports and Local Pottery Production in Egypt and the Levant During the Middle Bronze Age	309
Jean-Pierre BRUN	Un vase fabriqué à Aksoum découvert dans le <i>praesidium</i> de Didymoi (Désert oriental d'Égypte)	323
Julia BUDKA	Bichrome Painted Nile Clay Vessels from Sai Island (Sudan).....	331
	Bibliographie	343
	Index chronologique.....	381
	Adresses des auteurs.....	383

Premiers résultats d'un programme de prospections céramologiques dans la zone centrale du tell de Tanis : campagne 2014 (Mission française des fouilles de Tanis)

CETTE contribution met en avant les résultats préliminaires des activités céramologiques¹ menées sur le site de Tanis/Sân el-Hagar, lors de la dernière campagne qui s'est tenue au printemps 2014, sous la responsabilité de Fr. Leclère², nouveau directeur de la Mission française des fouilles de Tanis. Dans le cadre de la première phase du nouveau programme quadriennal présenté fin 2013, selon les objectifs définis au cours de cette saison, plusieurs opérations relatives à l'étude de la documentation céramique ont été conduites. Cependant, l'une des principales interventions a consisté en une estimation chronologique des zones majeures identifiées lors de la prospection magnétique conduite par T. Herbisch et son équipe dans la plaine centrale du site, à partir d'une collecte systématique des tessons présents en surface.

Prospection céramologique dans la plaine centrale

Sur la base du maillage de rectangles de 40 × 20 m orientés sud-est/nord-est, correspondant au carroyage mis en place pour la prospection magnétique, des lots de tessons, numériquement plus ou moins importants selon les zones, ont été recueillis

1. Les activités céramologiques ont été conduites du 7 au 26 mai 2014, avec la collaboration *a posteriori* de S. Marchand (Ifao – laboratoire de céramologie) que nous remercions vivement pour ses précieux conseils.
2. Nous tenons à adresser nos remerciements à Fr. Leclère (Ephe) pour nous avoir permis de reprendre nos travaux céramologiques sur le site et pour nous avoir autorisé à publier ce rapport préliminaire. Notre reconnaissance va également aux autres membres de l'équipe qui ont activement participé à la prospection, T. Herbisch, K. Kiersnowski, J. Ordutowski et R. Ryndziewicz (Institut d'archéologie et d'ethnologie de l'Académie des Sciences de Varsovie). Pour leur soutien et leur participation sur le terrain, nous remercions Fr. Payraudeau (assistant-directeur – Paris IV-Sorbonne), R. Meffre (Paris IV-Sorbonne), S. Poudroux et Th. Gonon (archéologues – Évéha international). Le Conseil Suprême des antiquités représenté par les inspecteurs A. Ali Neqshara et Al-Sayed Khairy Ahmed, sous la supervision du Dr. M. Saleh, nous a également apporté leur aide bénéfique. Enfin, ce rapport a pu aboutir grâce au concours efficace de St. Boulet (ULB – Aspirante F.R.S.-Fnr), à qui nous adressons nos sincères remerciements.

à la surface du site. Le ramassage étant, pour un secteur donné, plus long que la prospection magnétique elle-même et la collecte de tessons ayant été réalisée sur un temps plus limité et par un nombre moins important de personnes (principalement une à deux), les 25 ha couverts en magnétométrie ne pouvaient être parcourus en totalité cette année. Outre une reconnaissance sommaire de l'ensemble de la zone nord de la plaine centrale, qui a permis de proposer une datation approximative des secteurs parcourus, le *survey* céramologique s'est concentré plus systématiquement dans la partie médiane de la plaine centrale, essentiellement sur une bande nord-sud d'environ 80 m de large et longue de plus de 300 m (fig. 1). De même, en fonction du temps imparti, l'examen minutieux de l'ensemble du matériel amassé, marqué par un indice élevé d'érosion, n'a pu être effectué que partiellement et devra être poursuivi l'an prochain. L'étude précise de quelques ensembles a cependant révélé des résultats probants dans certains secteurs, tant sur le plan chronologique que sur le plan archéologique, qui valident la méthode de travail et les procédures mises en place.

Rappel méthodologique

Pour faciliter la description et le positionnement exact des zones prospectées, une numérotation des rectangles a été définie de la manière suivante : une intersection du carroyage de prospection, entre les deux grands ouadis, à environ 100 m au nord de la piste qui traverse la plaine centrale d'est en ouest (fig. 1) a été arbitrairement choisie comme *datum* d'un système orthonormé divisé en quatre quadrants nord-ouest, nord-est, sud-ouest et sud-est. Selon leur position dans l'un ou l'autre des quadrants, les rectangles sont dénommés E_xN_y , W_xN_y , E_xS_y , W_xS_y , E, W, N et S correspondant à l'abréviation des directions cardinales, x et y à la position du rectangle en abscisse et en ordonnée. Ainsi, E_1N_1 est le premier rectangle situé à l'est et au nord du *datum*, E_2N_1 le rectangle immédiatement voisin à l'est du précédent, W_5N_4 le cinquième rectangle à l'ouest de l'axe (nord-sud) des ordonnées et le quatrième au nord de l'axe (est-ouest) des abscisses, et ainsi de suite.

Exemple, autour du *datum* (fig. 2 et tableau ci-joint, d'après Fr. Leclère) :

W_3N_3	W_2N_3	W_1N_3	E_1N_3	E_2N_3	E_3N_3
W_3N_2	W_2N_2	W_1N_2	E_1N_2	E_2N_2	E_3N_2
W_3N_1	W_2N_1	W_1N_1	E_1N_1	E_2N_1	E_3N_1
W_3S_1	W_2S_1	W_1S_1	E_1S_1	E_2S_1	E_3S_1
W_3S_2	W_2S_2	W_1S_2	E_1S_2	E_2S_2	E_3S_2
W_3S_3	W_2S_3	W_1S_3	E_1S_3	E_2S_3	E_3S_3

Le système de numérotation ainsi mis en place présente l'avantage de pouvoir, dans l'avenir, être étendu à volonté dans toutes les directions et à n'importe quel secteur du tell en fonction des besoins.

Principaux résultats

Les indices d'un quartier artisanal

L'un des résultats les plus notables obtenus lors de ces prospections concerne la partie centre-ouest de la zone explorée, plus précisément dans les rectangles numérotés W2S4 à W2S7³ (total NTT⁴: 251), où un important quartier d'activités artisanales a pu être repéré. Le matériel collecté comporte, en effet, des déchets de cuisson (NTT: 130) associés à des scories de fours (dont des briques fondues), quelques fragments de grès et de quartzite. Comme le montrent les fig. 3 à 11, des vases ayant subi une température de cuisson très élevée, caractérisés par une cassure noire, vitrifiée, d'une porosité et dureté extrêmes, renfermant une abondante quantité d'inclusions de quartz, ont pu être ramassés⁵; parmi les trouvailles faites dans le rectangle W2S5, mentionnons la présence d'une fournée ratée de deux ou trois *dokka* (fig. 3-4).

Ces éléments visibles en surface, associés par endroits à une épaisse couche de terre rubéfiée (notamment en W2S6), paraissent corroborer les résultats de la carte magnétique: c'est précisément dans ce secteur que celle-ci indique des anomalies (cercles noirs de taille inégale) suggérant l'existence de fours de potiers⁶, comme cela a pu être observé par exemple sur le site de Bouto⁷, dans la partie septentrionale du Delta, ou, plus récemment, à Memphis, dans le secteur du Kôm Helul⁸.

3. On précisera qu'une partie du rectangle W2S4, marquée par le tracé d'un ouadi et une circulation marginale, a livré un matériel plus hétérogène comprenant, outre des éléments datables de la Troisième Période intermédiaire, des pièces plus tardives, appartenant au corpus de l'époque ptolémaïque (tels des *echinus bowls* et des bords de marmites proches des *lopades*). La même remarque vaut également pour l'espace W2S7 où de rares trouvailles récentes ont été identifiées (telle une base d'*unguentarium*). Le caractère hétérogène peut s'expliquer par le fait que les puissants torrents qui peuvent remplir les ouadis au moment de pluies violentes – ce qui n'est pas rare à Tanis particulièrement en hiver – ont progressivement charrié des tessons provenant de secteurs d'occupation plus tardive situés en amont, plus au nord.

4. NTT = Nombre Total de Tessons recueillis. Parmi les 251 fragments ramassés (W2S4: 44; W2S5: 98; W2S6: 83; W2S7: 26), 130 correspondent à des ratés de cuisson, des vases surcuits, déformés, érodés ou noircis en surface.

5. Cf. *infra* catalogue, pour une description plus précise. La plupart des exemplaires paraissent avoir été réalisés dans une fabrique alluviale.

6. Des déchets de cuisson (d'une époque plus tardive) avaient déjà été identifiés dans la partie sud-est du tell (cf. DUBOIS 1997, p. 29-41).

7. HARTUNG *et al.* 2003, p. 43.

8. Se référer à NICHOLSON 2013.

En tout état de cause, qu'il s'agisse des ratés de cuisson à pâte noire, vitrifiée, ou des vases surcuits, le répertoire formel attesté dans le secteur considéré est majoritairement spécifique de la phase terminale de la Troisième Période intermédiaire, ainsi qu'en témoignent les séries identifiées⁹ : *dokka* de petite et grande tailles¹⁰, au profil en Z; jattes à paroi épaisse et lèvre interne épaissie, souvent marquées par des lignes de cordes sur la paroi externe¹¹; jarres de stockage à lèvre en bourrelet, face externe convexe¹² (fig. 6, 10-11) ou lèvre haute, épaisse, rainurée¹³; jarres et *meat-jars* sans col¹⁴; vases à la base perforée ou non, définis selon d'aucuns de *pigeon-pots*, selon d'autres de *funnels*¹⁵ (entonnoirs); vases à lèvre évasée, à marli, connus sous

9. La liste des parallèles connus pour certaines formes est trop exhaustive pour être mentionnée dans le cadre de la présente contribution. Par conséquent, aux références déjà livrées dans les articles relatifs à la documentation de Tanis, ont été ajoutées les mentions indiquées par quelques publications récentes de fouilles menées principalement dans le Delta.

10. Pour comparaison, DEFERNEZ, ISNARD 2000, p. 173-174, 213 pl. XV: types 22A et 22B; LAEMMEL 2012, p. 40 pl. 30: 171 (Tanis, temple d'Horus de Mesen – phase 1, Troisième Période intermédiaire). Aux références citées dans ces contributions, mentionnons celles livrées par les fouilles récentes menées à Saïs, Kôm Firin, Memphis et Tell el-Ghaba. Se référer à: WILSON 2011, p. 254 pl. 75: 2 et 5 (fin époque ramesside et Troisième Période intermédiaire); SMOLÁRIKOVÁ 2014, p. 49, 127 fig. 56: C607, C613 et C679 (Troisième Période intermédiaire et Basse Époque); ASTON, JEFFREYS 2007, fig. 33: 286-287 (VIII^e et VII^e s. av. J.-C.), fig. 40: 408; FUSCALDO 2005, fig. 17: 2.21-22, fig. 21: 2.22, fig. 30: 3.28, fig. 40: 14.184-188 (Tell el-Ghaba – Area I); fig. 10: 3.25, fig. 14: 1.13, fig. 17: 15, fig. 21: 1.8, fig. 29: 2.21, fig. 35: 1.11, fig. 51: 3.38-41, fig. 58: 5.49-52, fig. 58: 6 et fig. 58: 7 (Area II).

11. Pour comparaison, DEFERNEZ, ISNARD 2000, p. 174, 213 pl. XV: groupe 23; LAEMMEL 2012, p. 31, pl. 22: 123-126 (Tanis – phase 1). Se référer en dernier lieu à: WILSON 2011, p. 236-237 pl. 38.6-9, pl. 39.1-4 (Saïs, phases I et II); SMOLÁRIKOVÁ 2014, p. 126, fig. 55: C533, p. 127 fig. 56: C623, C844 et C4026 (Kôm Firin, Troisième Période intermédiaire et non Basse Époque).

12. Pour comparaison, cf. LAEMMEL 2012, pl. 35 (Tanis, temple d'Horus de Mesen – modèles sans doute plus anciens?, datables de la Troisième Période intermédiaire). Voir les exemplaires récents trouvés en Basse-Égypte (ASTON, JEFFREYS 2007, fig. 31: 249-254, fig. 32) et dans le nord du Sinaï (FUSCALDO 2005, fig. 3: 4.45, fig. 23: 5.19, fig. 30: 4.36, fig. 31: 7.10, fig. 32: 2.18, fig. 40: 11.147, fig. 40: 12.148 [Tell el-Ghaba – Area I]; mobilier datable de la fin de la Troisième Période intermédiaire et du début de l'époque saïte).

13. Pour comparaison, DEFERNEZ, ISNARD 2000, p. 164, 206, pl. VIII: groupe 8B.

14. Pour comparaison, DEFERNEZ, ISNARD 2000, p. 159-161, 199 pl. I: groupe 1, p. 200 pl. II: groupe 2A, p. 201-202 pl. III-IV: groupe 3; LAEMMEL 2012, p. 7-9 pl. 1-2 (Tanis, temple d'Horus de Mesen – phase 1, Troisième Période intermédiaire). L'ensemble du territoire égyptien a livré de nombreux exemples, ainsi qu'en témoignent les parallèles mentionnés dans les contributions citées. Voir, cependant, en dernier lieu: WILSON 2011, p. 240 pl. 47: 3-7 (Saïs, phase II); SPENCER 2008, p. 149 fig. 42: Co02, Co49, Co54 et Co77 (Kôm Firin, Troisième Période intermédiaire); SMOLÁRIKOVÁ 2014, p. 50-51, 129, fig. 58: C535, C598 et C704 (Kôm Firin); ASTON, JEFFREYS 2007, fig. 28: 151-152, fig. 49, 52 (Memphis); FUSCALDO 2005, fig. 1: 2.10-11, fig. 5: 2.10-13, fig. 6: 2, fig. 9: 1.7, fig. 17: 2.18-19 (Tell el-Ghaba – Area I), également fig. 5: 2.11 et 13, fig. 7: 2.14, fig. 19: 2.19-22 (Area II).

15. Sur ce point et pour comparaison, se référer à: DEFERNEZ, ISNARD 2000, p. 183-184, 217, pl. XIX: groupe 36 (formes illustrées à l'envers par erreur); LAEMMEL 2012, p. 38-39 pl. 29: 162-166 (Tanis – phase 1); FUSCALDO 2005, fig. 29: 2.13, (Tell el-Ghaba – Area I), fig. 57: 4 (Area II), fig. 9: 6 (Area VI), fig. 17: 6.36 (Area VI). Des récipients de forme similaire mais à lèvre profilée ont été mis au jour à Kôm Firin; la datation proposée couvre la période saïte (THOMAS 2014, p. 241 fig. 122). La fonction de ces vases dans la capitale tanite, comme *pigeon pots*, a été mise en avant dans une contribution de Th. Sagory (2000, p. 29-53).

l'appellation de *chamber-pots* ou de vases-cloches¹⁶; coupelles à fond plat¹⁷ et coupes coniques évasées, à lèvre simple ou à lèvre ourlée¹⁸ (fig. 5, 9, 13-15).

Outre ces productions locales et/ou régionales, réalisées dans des fabriques apparentées aux *Nile C*, *Nile E* ou *Nile D* du Système de Vienne¹⁹, on notera également la présence de bords et de panses d'amphores de provenance syro-palestinienne²⁰,

16. Pour comparaison, DEFERNEZ, ISNARD 2000, p. 165, 207 pl. IX: groupe 9B; LAEMMEL 2012, p. 47-48 pl. 37-38 (TANIS – phase 2, fin de la Troisième Période intermédiaire et époque saïte). Se référer en outre à: WODZINSKA *et al.* 2009, p. 271 fig. 31: 17 (Tell el-Retaba); MARCHAND 2014, p. 188 fig. 20-21 (Tell el-Iswid); LUPO, KOHEN 2014, p. 195 fig. 2A.C (Tell el-Ghaba); SMOLÁRIKOVÁ 2014, p. 132 fig. 61: C512, C780, C846 et C882 (Kôm Firin, Troisième Période intermédiaire et Basse Époque; contrairement à ce que suggère l'auteur, ces récipients ne correspondent pas à des amphores). Des attestations sont connues en Nubie, notamment à Kerma (AHMED 1992, fig. 24: types IA3a-b – bâtiment napatéen). Des modèles plus tardifs, attribuables à la deuxième partie de l'époque saïte, provenant du site de Tell Dafana, ont récemment été publiés (SPENCER 2014, p. 102, 191 pl. 33: 23306 et 23656 et p. 106-107, 218 pl. 60).

17. Ces coupelles correspondent au groupe 27 (notamment à la variante 27A) dans la classification du matériel extrait de la structure dite «elliptique» (DEFERNEZ, ISNARD 2000, p. 178, 215 pl. XVII: groupe 27). Pour comparaison, voir FRENCH, BOURRIAU 2013, p. 437 fig. 68a (Saqqâra, Nouvel Empire/Troisième Période intermédiaire).

18. Pour d'autres parallèles, se référer à: DEFERNEZ, ISNARD 2000, p. 175-176, 214, pl. XVI: groupe 24 (variantes 24A-C); LAEMMEL 2012, p. 26 pl. 16: 95-97 (Tanis, temple d'Horus de Mesen – phase 1). Voir en dernier lieu les exemplaires récents découverts sur d'autres sites du Delta, de Basse-Égypte et du Nord-Sinaï: WILSON 2011, p. 230 pl. 27.20, pl. 29, p. 233 pl. 31.3-4, 6-7, 10-11 et 14, également p. 233-234, pl. 34.3, pl. 7-12 (Saïs, phases I, II et IV-V, pour les modèles plus anciens); SPENCER 2008, p. 143 fig. 36: C014 et C005, p. 144 fig. 37: C001, C041 et C364 (Kôm Firin, Troisième Période intermédiaire); SMOLÁRIKOVÁ 2014, p. 49, 125 fig. 54: C524-C525, C530-C532, C593, C600, C654, C867 et C4123 (Kôm Firin, Troisième Période intermédiaire et non Basse Époque); ASTON, JEFFREYS 2007, fig. 20: 4-10, 11-19, fig. 29: 155-157, fig. 30: 200-205, fig. 32: 256, 258, fig. 33: 286-287, 289-293, fig. 35: 326-327, fig. 37: 370-372 et fig. 40 (Memphis, Troisième Période intermédiaire); FRENCH, BOURRIAU 2013, p. 434 fig. 65, p. 435 fig. 66A-K (Saqqâra, Nouvel Empire/Troisième Période intermédiaire); FUSCALDO 2005, fig. 7: 1, fig. 9: 1.2, fig. 17: 1.7, fig. 18: 1.3, fig. 21: 1.2-3, fig. 26: 5, fig. 28: 1.1 (TELL EL-GHABA – Area I), également fig. 10: 1.5, fig. 29: 1.3-4, fig. 30: 1.6, 9, fig. 48: 2.21, fig. 54: 1 (Area II) et fig. 13: 1.1 (Area VI).

19. Groupes définis selon le système de Vienne, mis en place par J. Bourriau et H.A. Nordström (1993, p. 145-190).

20. Les fragments de bords identifiés s'apparentent étroitement à ceux qui ont été récemment découverts sur le site de Kôm Firin (SMOLÁRIKOVÁ 2014, p. 51, 133, fig. 63: C838 et C757; THOMAS 2014, p. 239 fig. 120: C2147). Des formes analogues ont été mises au jour à Tanis, dans le secteur du temple d'Horus de Mesen (LAEMMEL 2012, p. 54 pl. 44: 226-227, p. 64, pl. 56: 271); l'auteur les associe à des récipients similaires trouvés sur les sites d'Hazor et de Sarepta. La datation proposée ne peut en aucun cas couvrir la période perse mais doit sans doute être largement antérieure (fin de la Troisième Période intermédiaire/début de l'époque saïte). On signalera la présence de jarres comparables parmi la documentation extraite des fouilles du Trésor de Chabaka (documentation inédite actuellement en cours d'étude par N. Licitra [UMR 8167/Paris IV-Sorbonne]). Mentionnons, en outre, la présence de bord analogues sur le site de Tell el-Ghaba (FUSCALDO 2005, fig. 40: 21.248, fig. 40: 23.284, fig. 40: 25.310, fig. 40: 28.364 (Area I), fig. 1: 4.36 (Area VI); pour de plus amples informations sur les importations levantines de Tell el-Ghaba, voir principalement Basilico 2006, p. 67-70, n^{os} 027-032.

de fragments de barillets ou *sigà*, vraisemblablement importés de l'oasis de Bahariya²¹ (fig. 12), et de vaisselles fines, représentées par des vases de service (pichets ou cruchons), d'origine supposée chypriote. Contrairement au matériel amassé dans les espaces prospectés plus au nord (*infra* et fig. 16-22), les importations du Sud de l'Égypte restent ici rares mais sont toutefois attestées, sous forme de panses striées et de bords infimes.

Si, au sud et au sud-est de cette zone, dans les rectangles W2S8-S9 et W1S6-S7 (NTT: 19), le faible nombre de tessons collectés ne paraît pas indiquer une dense activité humaine²², les secteurs prospectés au nord, dans le prolongement de l'axe W1, ont au contraire fourni un matériel digne d'intérêt témoignant d'une occupation notable. Situés à proximité d'un large ouadi, les rectangles W1S4-S5 ont livré des assemblages numériquement importants, mais caractérisés par une hétérogénéité marquée²³ : des éléments datables de diverses périodes (Troisième Période intermédiaire, fin de la Basse Époque, périodes ptolémaïque, romaine et byzantine) ont en effet été observés.

Les indices d'un vaste quartier d'habitations

Plus au nord au contraire, les ensembles issus des rectangles W1N1, W1S1 (NMI²⁴: 12) à W1S3 (NTT: 75)²⁵, où foisonnent des concentrations de tessons prenant la forme de *kôms*, se démarquent par une forte homogénéité et, surtout, leur appartenance à une séquence chronologique limitée dans le temps : les fragments de céramiques recueillis peuvent être clairement assignés à la phase de transition qui marque le passage de la Troisième Période intermédiaire à la dynastie saïte, période encore assez méconnue dans l'histoire de l'industrie céramique du Nord²⁶. Ce sont

21. À propos de ces récipients, voir les remarques faites plus loin.

22. La surface des rectangles W2S9 et W1S9 (caractérisés par un sédiment limoneux homogène de couleur brune) a livré peu de tessons et de scories, indiquant de fait un hiatus d'occupation dans cet espace, où aucune structure n'est visible ni en surface ni sur la carte magnétique. Plus au sud, l'extension de la prospection magnétique a révélé en fin de saison un ensemble très dense de constructions et d'édifices qui témoignent d'une occupation humaine plus intense. Ce secteur n'a pu être couvert cette année par la prospection céramologique et les investigations planifiées en 2015 permettront l'apport d'une documentation plus féconde pour une meilleure compréhension de cette partie du tell.

23. Tout comme au nord du rectangle W2S4, vers l'espace W2S3.

24. NMI : Nombre Minimum d'Individus.

25. Dans les rectangles W1S2 et W1S3, des scories ainsi que des tessons brûlés ont été observés (fig. 10-11). Il est à préciser qu'une faible hétérogénéité a peut-être marqué le matériel issu de l'espace W1S2, dans la mesure où un sondage profond a été pratiqué, lors d'une campagne antérieure, du côté est.

26. En ce qui concerne l'industrie céramique du Sud, et plus précisément de la région thébaine, une étude récemment menée par St. Boulet, dans le cadre d'une thèse de doctorat (*Les productions céramiques égyptiennes en région thébaine du VIII^e au VI^e siècle avant notre ère : traditions, influences et innovations*),

les importations de la Haute-Égypte (principalement de la région thébaine) identifiées parmi les assemblages amassés qui autorisent cette proposition chronologique.

Spécifiques de la XXV^e dynastie (voir notamment fig. 16-21), ainsi qu'en témoignent les répertoires connus dans le Saïd, au sud ou au nord de Thèbes (Éléphantine²⁷, Karnak, Gourna, nécropole thébaine [tombe de l'Assassif, temples du Ramesseum et de Merenptah], Médamoud, Dendara, Tell el-Amarna, El-Ashmounein/Hermopolis)²⁸, les trouvailles collectées se composent de bords et cols profilés de jarres de stockage, de panses striées et de petites anses rubanées. Comme le démontrent les fig. 16 à 22, les fragments recueillis correspondent à des vases fermés, soit à des jarres à la panse sphérique ou globulaire et col court (fig. 18-19)²⁹, soit à des grandes jarres élancées, au corps piriforme, à col haut ou lèvres en bandeau (fig. 16-17, 22)³⁰. Qu'il s'agisse de l'une ou l'autre série, la majorité des formes retenues a été réalisée dans une fabrique marneuse, verdâtre/olive pâle ou orangée, à la matrice fine et sableuse, bien attestée entre Abydos et la Nubie. Étroitement apparentée à la Marl A4 du système de Vienne, cette fabrique présente des analogies dans sa composition avec les groupes Ma1 et Ma2 dans la classification élaborée par S. Laemmel³¹, sur la base du matériel de Tanis provenant du secteur du temple d'Horus de Mesen ; des rapprochements

permet de circonscrire plusieurs phases au sein de la Basse Époque. Grâce à la fouille de vastes dépotoirs dégagés à Karnak, dans le temple d'Amon-Ré et à proximité du temple de Ptah, des séquences précises situées dans l'intervalle fin Troisième Période intermédiaire et XXVI^e dynastie, ont enfin pu être définies. 27. À Éléphantine, comme il est indiqué dans le catalogue, les productions thébaines attestées à Tanis ou ailleurs s'inscrivent dans le répertoire de la phase III (milieu VIII^e/VII^e s. av. J.-C.) défini par D.A. Aston (1999).

28. Pour ne citer que quelques sites majeurs. Les références sont nombreuses, trop pour être mentionnées ici de manière exhaustive. Quelques parallèles extraits de fouilles récentes sont cependant livrés ci-après dans le catalogue formel. À cette liste, il convient d'ajouter les grandes jarres de stockage à la lèvre en bandeau, profilées en S, connues, par exemple, à Médamoud (BARAHONA-MENDIETA 2014, p. 275-277, 279 fig. 7-9, 12-14), à Dendara (MARCHAND, LAISNEY 2000, p. 269-270) et à Karnak, dans le quartier des prêtres, au sud du lac sacré (MASSON 2007, p. 593-655 ; MASSON 2011a, p. 294, fig. 20 ; également Masson 2011b, p. 645-677, pour un exemple polychrome exposé au Musée Pouchkine) ou dans le secteur nord-ouest du temple d'Amon (GRATALOUP *et al.* 1993, p. 185 fig. 7 : 3-4, p. 196 fig. 20 : 88 ; BOULET, DEFERNEZ 2014, p. 610 fig. 31-1.I et p. 613 fig. 31-2.C) ; ces modèles, sans doute plus récents, se démarquent du type illustré sur la fig. 22. Les références sont également nombreuses plus au nord, en Moyenne-Égypte (dont le site d'Héracléopolis Magna), voire dans le Fayoum, et plus au sud, en Nubie. Celles-ci sont mentionnées dans la thèse inédite de St. Boulet.

29. Pour comparaison avec des formes au profil plus complet, outre les mentions livrées dans le catalogue, voir : FRENCH 1986, p. 183 fig. 9.17 : MJ3.2.2, 2.3.

30. Pour comparaison avec des spécimens intacts, se référer à la liste des parallèles indiqués dans le catalogue et aux notices préalablement citées.

31. LAEMMEL 2012, p. 5-6.

peuvent, en outre, être établis avec les catégories BE 1 et BE 2 du corpus récemment mis en place à Karnak³².

Jusqu'à présent, les importations du Sud paraissent faire défaut à Tanis, tant parmi la documentation ancienne que parmi celle plus récente connue à ce jour – comme celle récemment étudiée dans le secteur du temple d'Horus de Mesen³³. Or les prospections qui ont été réalisées cette saison laissent suggérer, au contraire, la présence notable des céramiques en argile marneuse typiques du début de la Basse Époque, dans des zones encore largement peu ou pas explorées. À titre indicatif, on mentionnera les attestations signalées à Tell el-Balamoun³⁴, à Mendès (nécropole royale)³⁵, à Kôm Firin³⁶, à Tell Belim³⁷, à Memphis³⁸ et, surtout, à Tell el-Ghaba, dans le nord du Sinaï, où les pièces ici impliquées ont fait l'objet d'une contribution spécifique³⁹. Comme à Tanis, assez curieusement, le répertoire formel « thébain » issu de ces sites majeurs du Delta se compose de jarres de stockage à col renflé ou au rebord profilé en S (comparables aux fig. 16-19, 22). D'après les informations fournies relatives aux propriétés techniques de ces vases, les fabriques utilisées pour leur

32. D'après la classification établie sur la base de la riche documentation des XXV^e-XXVI^e dynasties mise au jour dans le secteur de la chapelle saïte dédiée à Osiris Ounnefer Neb-djefau (se référer à : COULON, DEFERNEZ 2004, p. 171-172). Tels que le démontrent les trouvailles faites à Tanis, lors du *survey*, les récipients importés de la région thébaine ont surtout été confectionnés dans une fabrique apparentée à la BE 2, laquelle s'identifie aisément à sa cassure verdâtre et à la présence d'inclusions minérales noires (ferromagnétiques) et de quartz blancs. Le nombre total de tessons ramassés à la surface des rectangles prospectés suggère une fréquence plus constante des productions en BE 2 par comparaison à celles en BE 1, qui correspond à la *Marl A4*, variante 2, du système de Vienne (ASTON 1999, p. 4). Pour ce qui concerne Karnak, se référer à JACQUET-GORDON 2012, p. 6-7, 178^v pl. XVI : 2-3 (cliché de la fabrique proche de la BE 1).

33. Comme l'a soulignée, à juste titre, S. Laemmel, dans son analyse du mobilier extrait de cette zone, les productions d'origine thébaine ne sont pas prépondérantes (LAEMMEL 2012, p. 52) ; les formes illustrées sont analogues à celles trouvées lors des prospections (LAEMMEL 2012, p. 51-52 pl. 42 : 217-221). Il est vrai que, parmi les assemblages importants datables de la fin de la Troisième Période intermédiaire ou du début de l'époque saïte, étudiés lors des campagnes antérieures, les céramiques supposées importées de la Haute-Égypte ou de la région des Oasis, si leur identification était avérée, leur rareté était manifeste.

34. SPENCER 2003, pl. 38, fig. 8 (jarre à lèvres en bandeau).

35. REDFORD 2004, p. 156, 170 pl. G : 7 (jarre à lèvres en bandeau), p. 178 pl. P : 2 (coupes carénées).

36. SMOLÁRIKOVÁ 2014, p. 130, fig. 59 : C499 (col de jarre à paroi externe renflée, proche des exemplaires tanites P14029 et P14030) ; THOMAS 2014, p. 237 fig. 118 : C2319 (jarre à lèvres interne en bandeau), fig. 118 : C2250, C3112 (jarres à col externe renflé). Les derniers exemplaires mentionnés ont été attribués à tort à la XXVII^e dynastie (THOMAS 2014, p. 180).

37. SPENCER 2002, p. 37-51, notamment p. 50 fig. 5 (présence d'imitations).

38. FRENCH, JONES 1993, p. 21-22 fig. 1 : 1-2 (jarres sphériques à la lèvre profilée en S) ; NICHOLSON 2013, p. 170 fig. A2.1F (1103 – BOL), fig. A2.1J (1051), fig. A2.1K (1052). Parmi le matériel découvert figurent également des imitations de ces formes en fabrique alluviale.

39. LUPO, CREMONTE 2011, p. 115-128. Se référer également à FUSCALDO 2005, fig. 1 : 10 (P1125A-panse stricé-Area II), fig. 21 : 2 : 11 (P1169A-Area II), fig. 35 : 2 : 13 (P1208A-Area II). Ces formes sont analogues aux exemplaires de Tanis, ici illustrés, P14029 et P14030.

confection sont similaires dans leur composition à celles de la gamme des formes identifiée à Tanis. Malgré l'absence de données contextuelles précises (en l'occurrence de séquences stratigraphiques bien définies), les occurrences connues dans le Delta ou ailleurs proviennent vraisemblablement de niveaux d'occupation contemporains de ceux que nous avons pu identifier à la surface des rectangles prospectés, W1N1 à W1S3. Sur ce point, l'examen du matériel associé aux importations du Sud de l'Égypte, découvert par exemple à Kôm Firin, Tell el-Ghaba ou Mendès, corrobore une datation située dans la fourchette chronologique fin de la Troisième Période intermédiaire/début de l'époque saïte.

Outre les jarres importées, semble-t-il, de quelques officines thébaines, d'autres productions exogènes ont pu être repérées, en quantité assez importante, dans le secteur ainsi décrit. De nombreuses panses, épaules, bases, amorces d'anses et de rares goulots, appartenant à des barillets ou *sigā* issus des centres de production des Oasis, vraisemblablement à localiser dans la province de Bahariya⁴⁰, comptaient également parmi les trouvailles (fig. 12). Caractérisés par des parois épaisses, les éléments formels ou non, correspondant à cette catégorie de conteneurs, montrent une fabrique commune⁴¹, d'une densité et dureté extrêmes, aisément reconnaissable à la couleur de la cassure, située dans les tonalités claires, gris, jaune pâle, rose à bleu ciel⁴². Les inclusions principales sont constituées de particules rougeâtres (grains de chamotte) de taille variable, pouvant atteindre le cm et visibles en surface, de nodules noirs, de quartz et de grains de calcite, de faible calibre (de l'ordre de 0,2 à 0,5 mm) et en faible quantité. L'ensemble des tessons amassés présente systématiquement une surface de teinte jaunâtre.

Que ce soit sur le plan chronologique et sur le plan typologique, un constat similaire a pu être établi dans les secteurs définis par les rectangles W1N4 à W1N7, E1N4 et E1N5, ainsi que dans les zones situées plus à l'est, où d'importants édifices ont pu être détectés lors de la prospection magnétique. L'examen préliminaire des lots importants de tessons issus de *kôms* dans cette zone a révélé des céramiques spécifiques de la fin de la Troisième Période intermédiaire et de la XXV^e dynastie, voire du début de la XXVI^e dynastie (fig. 5, 13-22). Aux séries préalablement décrites, trouvées dans les espaces W2S4 à W2S7, mentionnons la présence de fragments de

40. Communication personnelle de S. Marchand que nous remercions pour ses instructives remarques relatives aux échanges inter-régionaux.

41. Celle-ci s'apparente à la fabrique O1 dans la typologie de S. Laemmel (2012, p. 6).

42. Les références colorimétriques sont les suivantes : 2.5YR 6/0, 7.5YR 6/0 à 7.5YR 5/0 pour la couleur grise et 10YR 8/6 ou 7/6 pour la couleur jaune ; les teintes bleutées et rosâtres ne sont pas représentées dans la table colorimétrique.

*sausage-jars*⁴³, bien documentées dans la région thébaine⁴⁴, et de jarres sphériques⁴⁵, souvent globulaires, à col haut et lèvre interne légèrement renflée, réalisées dans une fabrique alluviale.

Conclusion

Comme il a été précisé plus haut, la prospection céramologique systématique a été principalement menée dans la partie centrale de la plaine. Une reconnaissance à l'est des rectangles E₃N₂-N₃ et E₄N₂-N₃ a permis d'identifier une occupation dense à l'époque tardive, romano-byzantine ; de nombreuses scories et vases surcuits, observés à la surface de cette zone, laissent présager la présence de structures vouées à des activités artisanales.

En complément aux interventions effectuées sur le terrain, un premier examen succinct des micro-fragments de céramiques, souvent insignifiants, extraits des carottages réalisés par Th. Gonon sur le tell a été entamé. Il devra être poursuivi lors de la prochaine campagne.

Lors du cheminement pendant les prospections géophysique et céramologique, plusieurs objets remarquables ont été trouvés, parmi lesquels un fragment de statuette léonine en faïence datant de la Troisième Période intermédiaire, quelques micro-fragments d'*oushebtis* en faïence, un fragment de quartzite portant une inscription malheureusement illisible et une belle intaille en améthyste gravée d'une représentation de Sérapis debout, datant vraisemblablement du II^e s. apr. J.-C.

43. Comparables au groupe 10 dans la classification du matériel provenant de la structure elliptique (DEFERNEZ, ISNARD 2000, p. 166, 207-208 pl. IX).

44. À titre d'exemple, citons les exemplaires intacts provenant du Ramesseum (LECUYOT 2014, p. 112 fig. 5a, p. 119, pl. V.c), du site d'el-Khokha (SCHREIBER 2008, pl. LXXVII : 2.3 : 36-38) et du secteur du temple d'Amenhotep II (SESANA 2009, p. 400, fig. 3, p. 401 fig. 4).

45. Pour comparaison, DEFERNEZ, ISNARD 2000, p. 167-168, 209, pl. XI : 12C. Voir les exemples récents découverts sur les sites de Saïs (WILSON 2011, p. 244-245 pl. 53 : fig. 17-19 pl. 54 : fig. 1-4, 13-19), de Kôm Firin (SPENCER 2008, fig. 39 : C216, C260, C267, C388 et C272 ; ŠMOLÁRIKOVÁ 2014, p. 128 fig. 57 : C829) et de Memphis (ASTON, JEFFREYS 2007, fig. 32, 34 et surtout fig. 36 : 356-357).

Catalogue formel

- Fig. 3 : raté de cuisson (inv. P14021 – W2S5).
Fournée de deux ou trois *dokka* surcuits. Cassure noire, poreuse, vitrifiée, comprenant des inclusions de sables de faible calibre ainsi que des quartz blancs (fabrique alluviale?). Surface brun rougeâtre, lissée.
- Fig. 4 : raté de cuisson (inv. P14021 – W2S5).
Description identique à celle de la fig. 3.
- Fig. 5 : raté de cuisson (inv. P14027 – W2S5).
Coupe conique à lèvre externe légèrement ourlée, complètement déformée. Cassure noire, poreuse, montrant une quantité notable de quartz sableux (fabrique alluviale?). Surface brun orangé/rouge (proche de 10R 5/6), avec stries de lissage visibles. Coulées d'engobe jaunâtre sur la paroi externe.
- Fig. 6 : raté de cuisson (inv. P14050 – W2S6).
Bord épais de jarre avec léger renflement interne. Cassure noire, poreuse, vitrifiée (fabrique alluviale?). Traces fugitives de couleur brun orangé sur la paroi interne (peut-être coulées d'un engobe?).
- Fig. 7 : raté de cuisson (inv. P14051 – W2S5).
Panse de jarre ou de coupe? Cassure noire vitrifiée, piquée de nombreuses alvéoles et comprenant des quartz sableux en grande quantité (fabrique alluviale?). Surface brune grisâtre.
- Fig. 8 : raté de cuisson (inv. P14052 – W2S5).
Panse de jarre? Cassure de composition identique à la fig. 7. Surface grise noirâtre, avec négatifs d'inclusions végétales de petite taille.
- Fig. 9 : raté de cuisson (inv. P14053 – W2S7).
Fragment de base arrondie de coupe, avec stries internes marquées de tournage. Cassure noire, vitrifiée, avec quartz sableux en quantité importante et concrétions de calcaire (fabrique alluviale?). Surface grise noirâtre.
- Fig. 10 : raté de cuisson (inv. P14054 – W1S3).
Fragment de bord épais de jarre; lèvre convexe, en bourrelet, avec renflement interne et gorge peu profonde à la base. Cassure noire vitrifiée, comprenant des quartz sableux et des nodules de calcaire, en faible quantité (fabrique alluviale?). Surfaces interne et externe brun rougeâtre.

- Fig. 11 : raté de cuisson (inv. P14055 – W1S3).
Fragment de bord épais de jarre, complètement déformé; lèvres convexes, en bourrelet, soulignées. Cassure de composition identique à celle de la fig. 10, de couleur grise-noire. Surface externe brun-rouge.
- Fig. 12 : panse de barillet (inv. P14056 - W2S6).
Panse légèrement érodée. Production oasienne (Bahariya?). Fabrique d'une dureté et densité extrêmes; texture moyennement grossière contenant des inclusions rougeâtres de taille variable (sans doute de la chamotte, de l'ordre de 0,2/2 mm au cm), réparties de manière éparse, des nodules noirs (0,5 au mm), des grains de calcaire ou calcite, des quartz de faible calibre (de 0,2 à 0,5 mm) et en faible quantité, et de fines particules brillantes. Des cavités (négatifs de fibres végétales) sont visibles en cassure et en surface. Cassure de couleur claire, avec un noyau gris clair (proche de 7.5YR 5/0) et des franges rosées et jaunâtres (proche de 10YR 8/6 ou 7/6). Surfaces interne et externe de teinte jaunâtre (10YR 8/6 ou 7/6).
- Fig. 13⁴⁶ : raté de cuisson (inv. P14003 – W2S6). Ø ouv. ovalisé: c. 22 cm; h. prés.: 3 cm. Coupe évasée fragmentaire; lèvres épaissies extérieurement, faiblement soulignées. Fabrique alluviale trop cuite, apparentée à la *Nile B2*. Cassure noire (proche de 2.5YR 4/0 ou 7.5YR 4/0), vitrifiée, laissant apparaître quelques fines particules blanchâtres. Surface érodée, noire ou gris sombre (5YR 3/1-7.5YR 3/0).
- Fig. 14 : raté de cuisson (inv. P14012 - W1S3). Ø ouv. ovalisé: c. 28 cm; h. prés.: 2,1 cm. Coupe fragmentaire à paroi épaisse et lèvres simples, légèrement évasées. Fabrique alluviale proche de la *Nile B2*. Cassure noire (2.5YR 4/0), poreuse, comprenant des négatifs d'inclusions végétales et des nodules noirs (cendres). Surface grise noirâtre, érodée.
- Fig. 15 : vase surcuit (inv. P14014 - W1S3). Ø ouv. ext.: c. 18-19 cm; h. prés.: 2,8 cm. Coupe conique érodée, à la lèvre externe ourlée. Fabrique alluviale apparentée à la *Nile E*; texture grossière contenant des quartz sableux d'assez gros calibre (de l'ordre de 0,5 au mm), des nodules de calcaire et de la chamotte, en faible quantité. Cassure de couleur brun rougeâtre (proche de 2.5YR 5/3-5/4 ou 5YR 4/4). Surface érodée de teinte identique à celle de la cassure.

46. Pour ce qui concerne les coupes illustrées sur les fig. 13 à 15, se référer aux parallèles mentionnés dans le texte.

- Fig. 16 : jarre (inv. P14030 – W1S1). Ø ouv. ext. : 10 cm ; h. prés. : 3 cm.

Col de jarre d'une hauteur moyenne, légèrement infléchi vers l'intérieur du vase et à paroi externe renflée ; lèvres courtes, convexes, mises en valeur à la base par une gorge assez profonde. Fabrique marneuse, à la matrice sableuse ; texture dense, contenant des nodules ferromagnétiques noirs (de l'ordre de 0,1 à 0,5 mm) et des quartz sableux de faible calibre, en faible quantité, également des micas et de fines cavités. Cassure verdâtre/olive pâle (proche de 5Y 6/3). Surface verdâtre érodée.

*Parallèles*⁴⁷ : type III.3 dans la classification inédite de St. Boulet.

Région thébaine et Haute-Égypte : Hummel, Shubert 1994, pl. XLIX : 11-12 (Kôm el-Ahmar) ; DEFERNEZ 2004, p. 37, 45, fig. 12 (Karnak, chapelle d'Osiris Ounnefer Neb-djefaou) ; JACQUET-GORDON 2012, p. 101, 257, fig. 101.e [P.725] (Karnak, trésor de Thoutmosis I^{er}) ; Sullivan 2013, p. 236, types 22-5, 22-6 et 22-7 (Karnak, temple de Mout) ; MYSLIWIEC 1987, p. 66-67, n° 523 (Gourna) ; LURSON *et al.* 2012, p. 150, 153, fig. 3.a (Ramesseum) ; ASTON 1999, p. 186-187, pl. 56 : 1698, p. 191, 193, pl. 58 : 1737-1742, p. 204, 207, pl. 64 : 1869, 1871-1872 et p. 206-207, pl. 64 : 1885 (Éléphantine).

- Fig. 17 : jarre (inv. P14029 - W1S1). Ø ouv. ext. : 11 cm ; h. prés. : 3,7 cm.

Col de jarre d'une hauteur moyenne, presque vertical, à paroi externe peu renflée ; lèvres courtes, convexes, mises en valeur à la base par une gorge peu profonde. Fabrique marneuse de composition identique à celle de la fig. 16 ; présence de nodules ferromagnétiques noirs en faible quantité (de l'ordre du mm). Cassure uniforme verdâtre/olive pâle (proche de 5Y 6/3). Surface interne érodée.

Parallèles : cf. forme précédente.

- Fig. 18 : jarre (inv. P14041 – W1N6/N7). Ø ouv. ext. : c. 17 cm ; h. prés. : 4 cm.

Col très court de jarre sphérique, à face externe profilée en S et à face interne légèrement concave ; transition entre le rebord et la panse marquée par une fine rainure. Fabrique marneuse verdâtre (proche de 5Y 6/3) de composition analogue à celles des fig. 16 et 17. Surfaces interne et externe très érodées.

Parallèles : type III.2.a dans la classification de St. Boulet.

Région thébaine et Haute-Égypte : JACQUET-GORDON 2012, p. 102, 259, fig. 102.g [P.479] (Karnak, trésor de Thoutmosis I^{er}) ; MYSLIWIEC 1987, p. 65-66, n° 497 (Gourna) ; ASTON 1999, p. 184-185 pl. 55 : 1689 (Éléphantine).

47. En ce qui concerne les productions d'origine thébaine, aux mentions livrées dans le catalogue, il convient d'ajouter ceux cités dans les notices du texte, provenant de la Haute-Égypte ou du Delta.

- Fig. 19 : jarre (inv. P14033 – W1S1). Ø ouv. ext. : 15 cm ; h. prés. : 2,5 cm.
Col très court de jarre sphérique, à face externe profilée en S et à face interne légèrement concave ; paroi extrêmement fine. Fabrique marneuse de composition apparentée à celle des formes préalablement décrites ; texture contenant des nodules ferromagnétiques noirs (de l'ordre de 0,5 au mm), des quartz blancs très fins et quelques rares grains de chamotte (0,5 au mm). Cassure verdâtre/olive pâle (5Y 6/3). Surface interne érodée.
Parallèles : type III.2 dans la classification de St. Boulet. Se référer à la liste précédente mais pas de parallèle précis pour cette forme.
- Fig. 20 : jarre (inv. P14032 – W1S1). Ø ouv. ext. : 12,5 cm ; h. prés. : 2,5 cm.
Col court de jarre, vertical, au profil interne faiblement convexe ; lèvre à extrémité arrondie, dans le prolongement des parois. Forme assez bien préservée de l'érosion. Fabrique marneuse, à la matrice sableuse, constituée de quelques quartz blancs (de l'ordre de 0,2 à 0,3 mm), de quartz sableux et de nodules ferrugineux noirs (de l'ordre de 0,1/0,2 à 0,5 mm). Cassure uniforme verdâtre (5Y 6/3). Surface de teinte identique à celle de la cassure.
Parallèles : type III.7.a.2 dans la classification de St. Boulet.
Région thébaine et Haute-Égypte : JACQUET-GORDON 2012, p. 101, 257, fig. 101.d [P.82] (Karnak, trésor de Thoutmosis I^{er}) ; ASTON 1999, p. 185-186, pl. 55 : 1694, p. 191, 193 pl. 58 : 1734-1735 (Éléphantine).
- Fig. 21 : jarre (inv. P14031 - W1S1). Ø ouv. ext. : 10 cm ; h. prés. : 2,5 cm.
Col érodé de jarre, étroit, légèrement évasé et d'une hauteur moyenne ; lèvre simple, à extrémité convexe, dans le prolongement des parois. Fabrique marneuse verdâtre (5Y 6/3) de composition analogue au type précédent ; présence de grains de chamotte (de l'ordre de 0,5 mm) et de nodules noirs. Surface très érodée.
Parallèles : type III.7.a.1 dans la classification de St. Boulet.
Région thébaine et Haute-Égypte : JACQUET-GORDON 2012, p. 101, 258 fig. 101.j [P.422] (Karnak, trésor de Thoutmosis I^{er}) ; ASTON 2008, p. 357, 359-360 pl. 143 : 2966 (temple de Merenptah - XXV^e/XXVI^e dynastie) ; ASTON 1999, p. 185-186 pl. 55 : 1694-1695 (Éléphantine).
- Fig. 22 : jarre (inv. P14042 – W1N6/N7). Ø ouv. ext. : 10 cm ; h. prés. : 3,3 cm.
Lèvre assez haute, en bandeau, légèrement rentrante et profilée en S ; transition avec l'épaule marquée par un léger ressaut saillant. Fabrique marneuse verdâtre (5Y 6/3), similaire dans sa composition à celle des récipients précédemment décrits. Surface très érodée.
Parallèles : type III.4 ou IV.4 dans la classification de St. Boulet (plutôt fin de la XXV^e dynastie).

Région thébaine et Haute-Égypte : Hummel, Shubert 1994, pl. LXVIII: 1, 1.a (Kôm el-Ahmar); DEFERNEZ 2004, p. 37, 45, fig. 8; COULON, DEFERNEZ 2004, p. 177-178, fig. 19.12 [ON P0149] (Karnak, Osiris Ounnefer Neb-djefau); JACQUET-GORDON 2012, p. 101, 258 fig. 101.1 [P.516], 101.11 [P.724] (Karnak, trésor de Thoutmosis I^{er}); SULLIVAN 2013, p. 195, 236, types 22-11 (Karnak, temple de Mout); MYSLIWIEC 1987, p. 65-66 n° 465 (Gourna); LECUYOT 2014, p. 105, 112, pl. Vc, fig. 5c (temple du Ramesseum); ASTON 2008, p. 358, 361-362 n° 2976 (temple de Merenptah); BUDKA 2010, p. 444-446 fig. 182, K53.1 [type D2] (nécropole de l'Assassif); BUDKA 2014, p. 250, fig. 13.1.4 (TT 223, tombe de Karakhamon); SCHREIBER 2008, p. 75, pl. LXX, fig. 2.2.2.4, n° 68, p. 75 pl. LXXI, fig. 2.2.2.4, n°s 71, 73-74, p. 81 pl. LXXVIII, fig. 2.3, n° 45, p. 81, pl. LXXIX, fig. 2.3, n°s 48-49 (TT 32, tombe de Djehoutymes II); IKRAM *et al.* 2011, p. 226 fig. 2.c (Dra Abou el-Naga, caches d'embaumeurs).

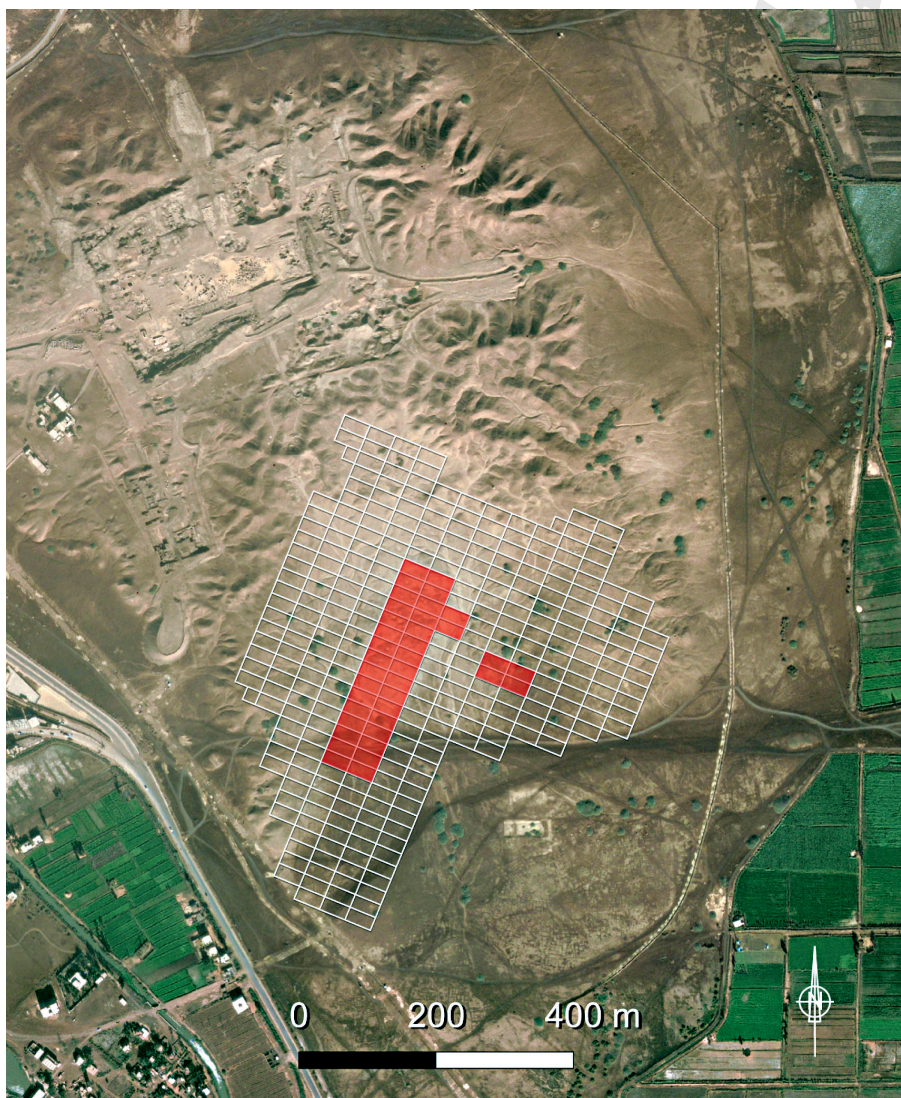


Fig. 1. *Plan de situation des prospections magnétiques dans la zone centrale du tell de Tanis.*
© MFFT (Leclère/Herbich).

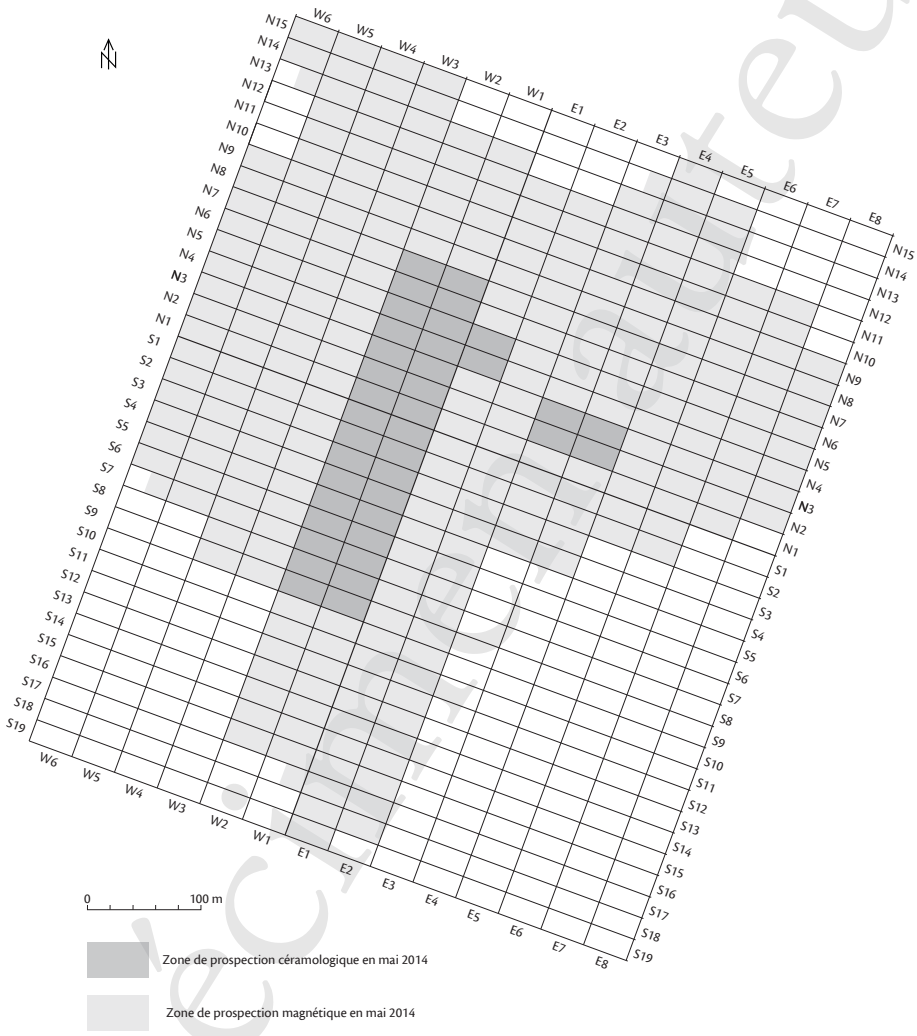


Fig. 2. Maillage des aires de prospection céramologique. © MFFT (Leclère/Herbich).



Fig. 3. Ratés de cuisson trouvés dans la zone centrale du tell, dans le secteur du quartier des activités artisanales/fours de potiers, détecté en prospection magnétique. © MFFT (Leclère).



Fig. 4. Fournée de deux ou trois dokka (P14021). © MFFT (Leclère).



Fig. 5. Fragment de coupe conique évasée, ratée (P14027). © MFFT (Leclère).

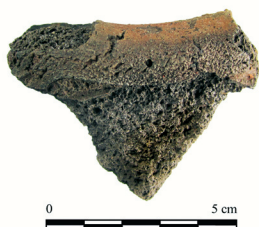


Fig. 6. Bord épais de jarre (P14050).
© MFFT (Leclère).



Fig. 7. Panse de jarre ou de coupe (P14051).
© MFFT (Leclère).



Fig. 8. *Panse de jarre (P14052).*
© MFFT (Leclère).

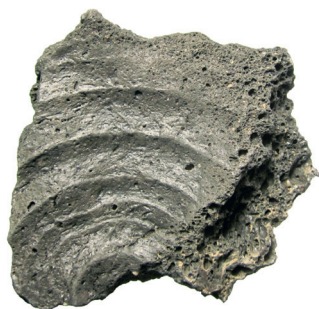


Fig. 9. *Base arrondie de coupe, ratée (P14053).*
© MFFT (Leclère).



Fig. 10. *Fragment de bord épais de jarre, raté (P14054).*
© MFFT (Leclère).

Fig. 11. *Fragment de bord épais de jarre, raté (P14055).*
© MFFT (Leclère).



Fig. 12. *Panse de barillet ou de siga (P14056).*
© MFFT (Leclère).



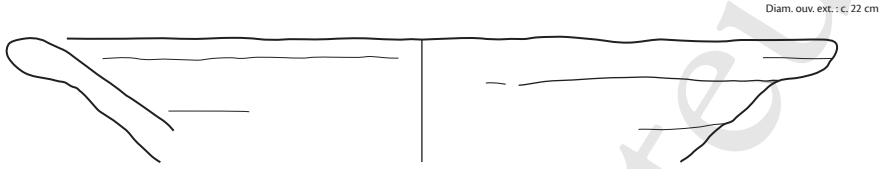


FIG. 13
TANIS P14003
(Survey - W256)



FIG. 14
TANIS P14012
(Survey - W153)



FIG. 15
TANIS P14014
(Survey - W153)



Fig. 13-15. *Fragments de coupes coniques évasées, ratées; fabrication alluviale.* © MFFT (Defernez).

Fig. 13. *Coupe (P14003).*

Fig. 14. *Coupe (P14012).*

Fig. 15. *Coupe (P14014).*

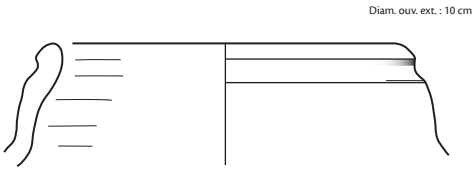


FIG. 16

TANIS P14030
(Survey - W151)

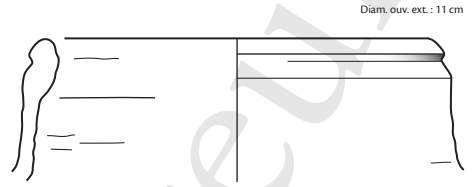


FIG. 17

TANIS P14029
(Survey - W151)

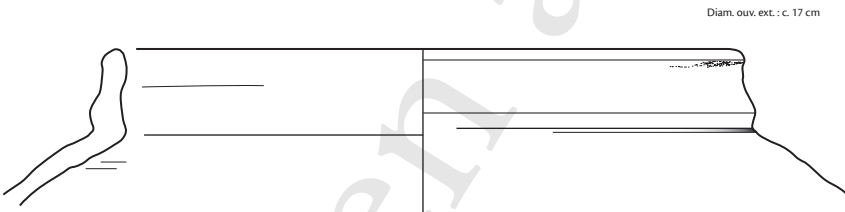


FIG. 18

TANIS P14041
(Survey - W1N6/W1N7)

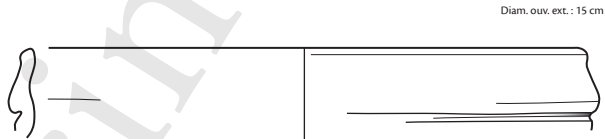


FIG. 19

TANIS P14033
(Survey - W151)



Fig. 16-19. Productions marneuses importées de la région thébaine. © MFFT (Defernez).

Fig. 16. Fragment de jarre à col renflé, fabrique marneuse verdâtre (PI4030).

Fig. 17. Fragment de jarre à col renflé, fabrique marneuse verdâtre (PI4029).

Fig. 18. Fragment de jarre à col court et profilé en S ; fabrique marneuse verdâtre (PI4041).

Fig. 19. Fragment de jarre à col court et profilé en S ; fabrique marneuse verdâtre (PI4033).

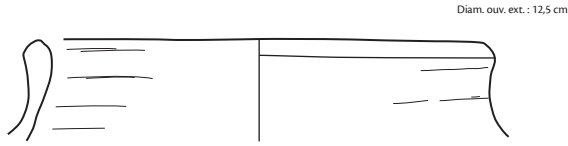


FIG. 20

TANIS P14032
(Survey - W1S1)

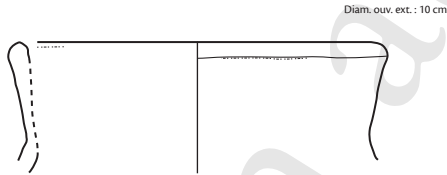


FIG. 21

TANIS P14031
(Survey - W1S1)

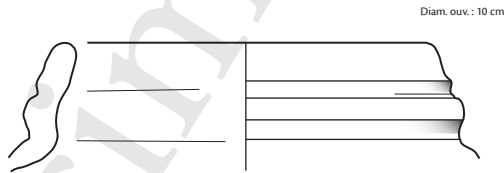


FIG. 22

TANIS P14042
(Survey - W1N6/W1N7)



Fig. 20-22. *Productions marneuses importées de la région thébaine.* © MFFT (Defernez).

Fig. 20. *Col court de jarre en fabrique marneuse (P14032).*

Fig. 21. *Col assez haut de jarre en fabrique marneuse (P14031).*

Fig. 22. *Fragment de grande jarre à lèvres en bandeau, profilée en S ; fabrique marneuse.*